

# <sup>99m</sup> Tc Pertechnetate 를 使用한 腦스캐닝

首都陸軍病院

李相敏 · 朴陳暎 · 李安耆 · 鄭周日 · 洪昌基

放射線醫學研究所

李鍾憲 · 高昌舜

## Abstracts

### Technetium 99m Pertechnetate Brain Scanning

Sang Min Rhee, M.D., Jin Yung Park, M.D., Ahn Ki Lee, M.D.,  
Choo Il Chung, M.D., and Changgi Hong, M.D.

*Capital Army Hospital, ROKA*

Chongheon Rhee, M.D. and Chang Soon Koh, M.D.

*Radiology Research Institute, Seoul, Korea*

Technetium 99m pertechnetate brain scanning were performed in 3 cases of head injury (2 chronic subdural hematomas and 1 acute epidural hematoma), 2 cases of brain abscess and 1 case of intracerebral hematoma associated with arteriovenous anomaly. In all the cases brain scintigrams showed "hot areas."

Literatures on radioisotope scanning of intracranial lesions were briefly reviewed.

With the improvement of radioisotope scanner and development of new radiopharmaceuticals brain scanning became a safe and useful screening test for diagnosis of intracranial lesions. Brain scanning can be easily performed even to a moribund patient without any discomfort and risk to the patient which are associated with cerebral angiography or pneumoencephalography. Brain scanning has been useful in diagnosis of brain tumor, brain abscess, subdural hematoma, and cerebral vascular diseases.

In 80 to 90% of brain tumors positive scintigrams can be expected.

Early studies were done with <sup>203</sup>Hg-Neohydron or <sup>131</sup>I-serum albumin. With these agents, however, patients receive rather much radiation to the whole body and kidneys.

In 1965 Harper introduced <sup>99m</sup>Tc to reduce radiation dose to the patient and improve statistical variation in isotope scanning.

## 緒論

腫瘍 其他 痘巢에 選擇的으로 摄取되든가 或은 痘巢 周圍의 正常組織에만 集積되고 痘巢에는 侵透되지 않는 放射性 同位元素 或은 그 標識化合物를 使用하여 放射能을 外部에서 測定하므로서 痘巢의 存在와 그 部位 및 크기 等 形態學的 性狀을 診斷하는 臟器 scan 法中 腦 scan

法은 scintiscanner 의 改良과 새롭고 安全한 放射性醫藥品의 開發에 따라 最近 腦腫瘍診斷에 널리 應用되고 있다. 腦 scan 法은 腦血管撮影, 氣脳撮影, 腦波等 從來의 補助診斷法에 比하여 診斷率이 좋으며 여러가지 利點을 가지고 있다. 아직 우리나라에서는 널리 普及되어 있지 않으므로 著者들의 經驗例를 提示하여 文獻的 考察을 하는 바이다.

## 検査対象 및 検査方法

### 對象 :

頭部外傷 3例, 腦膜瘻 2例, 先天性脳内血管腫 1例等 6例와 正常人 1例를 對象으로 하였다.

### Scan 方法 :

前處置 없이  $^{99m}\text{Tc}$  pertechnatate 10 mCi 를 經口投與後 60分 혹은 靜注後 15分~30分에 19孔 collimator 를 附着한 2×2 inches NaI(Tl) crystal 로 走査하였다.

이때 走査速度는 20 cm/min. 로 하였고, 먼저 前頭側에서 走査하고 病變이 있으리라고 豫想되는 側頭部의 走査를 實施하였다. 大部分의 例에서 所要되는 時間은 60分 前後이었다.

## 症 例

### 症例 1 : 문○환, 男子, 22세, 硬膜下血腫

1年前에 輕微한 頭蓋骨打撲傷을 받은 後 症狀없이 健康하게 지내다가 入院 10日前에 前頭部와 後頭部의 濛漫性頭痛이 徐徐히 發生하여 繼續的으로 심해져 入院하였다. 神經學的検査를 包含한 理學的検査에는 右側眼底의 乳頭部緣의 不鮮明 외에는 甚 特異所見이 없었고 血液検査, 尿検査等 檢査成績도 正常範圍였다. 나만 脑脊髓壓이  $420\text{mmH}_2\text{O}$  上昇되어 있었고 脑脊髓液의 檢査成績은 蛋白이 31.5 mg%, 糖 78 mg% 이었으며 細胞는 발견되지 않았다.

入院後 1週가량부터 左上肢 및 左下肢의 異常感覺(paresthesia)을 呼訴하기 시작하였고 入院後 2週에는 대단히 輕한 左側의 中心性顔面痙攣과 左側上下肢의 筋力의 減少를 認知할 수 있었다.

이때 實施한 頸動脈撮影에서 右側前腦動脈이 左側으로 약 1cm 偏位되어 있음을 觀察하였다(Fig. 2-A).

$^{99m}\text{Tc}$  brain scan 에서는 rt. cerebral hemisphere 에 右前頭 및 側頭葉에 廣範圍한 “hot lesion”을 觀察할 수 있고 이 “hot area”는 中心線을 넘어 左前頭葉의 一部까지도 覆고 있었다(Fig. 2-B,C).

入院 20日後에 craniotomy 를 施行하여 약 100cc의 陳舊한 血液을 含有한 硬膜下血腫囊을 除去하였다.

### 症例 2 : 서○원, 男子, 24세, 硬膜下血腫

入院數日前에 심한 頭痛을 訴呼하기 시작하여 갑자기 昏睡狀態에 빠져 本病院에 入院하였다. 理學的検査所見엔 甚 特異事項이 없고, 檢査室成績도 脑脊髓壓의 增加와 等正常範圍內였다.

頸動脈撮影上에는 middle cerebral artery의 閉鎖로서 硬膜下血腫를 의심할 수 있었다(Fig. 3-A).

$^{99m}\text{Tc}$  brain scan 上 前頭部의 下部에 “hot lesion”을 발견할 수 있었다(Fig. 3-B, C).

入院 4日에 수술하여 硬膜下血腫을 除去하였다.

### 症例 3 : 윤○화, 男子, 20세, Epidural hematoma.

交通事故로 인한 頭部損傷으로 한번의 嘔吐症狀이 있었을 뿐이다가 昏睡狀態로 本病院에 入院하였다. 理學的検査所見엔 右側瞳孔의 擴大 및 固定, 四肢의 spastic rigidity, D.T.R.의 hyperactivity 외에 异常을 발견할 수 없었다.

腦脊髓壓의 上昇의 檢査室成績은 正常範圍이내 이었다. 頸動脈撮影은 事情에 의해 못하고  $^{99m}\text{Tc}$  brain scan 上 右前頭部에 커다란 “hot lesion”을 발견할 수 있었다(Fig. 4-A,B).

入院 第2日에 수술하여 100cc 정도의 epidural hematoma 를 除去하였다.

### 症例 4 : 김○만, 男子, 24세, 腦膜瘻

國民學校때부터 中耳炎이 發生하여 難聽, 痛感적인 耳漏가 생겨 left simple mastoidectomy 를 한 後 2個月이 지나 頭痛으로 本病院에 入院하였다.

理學的検査所見에는 左耳의 慢性炎症의 特異事項이 없었고 檢査室成績도 전부 正常範圍이내 이었다. 頸動脈撮影에서는 後 및 前 choroid arteries의 閉塞를 볼 수 있고 수술후 腦膜瘻를 除去한 다음  $^{99m}\text{Tc}$  brain scan 을 實施하였던 바 左 temporal lobe에 “hot lesion”을 발견할 수 있었다(Fig. 5-A,B).

### 症例 5 : 조○식, 男子 20세, ?腦膜瘻

4日間의 頭痛 및 顔面痙攣로 本病院에 入院하였다. 理學的検査所見에는 左側의 spastic hemiparesis, 右側顔面痙攣의 特異事項이 없었고 檢査室成績은 전부 正常이었다. 頸動脈撮影에서도 正常이었다(Fig. 6-A).

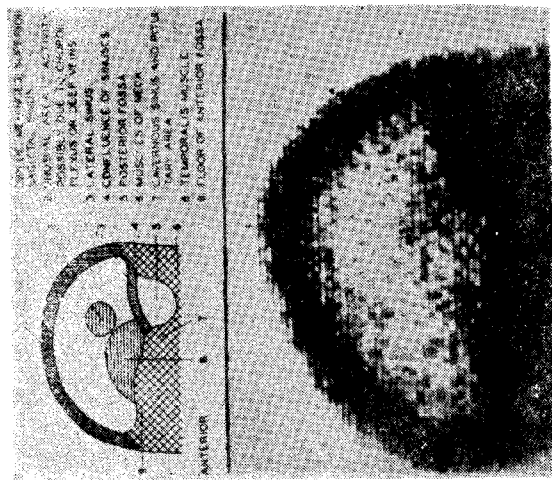
$^{99m}\text{Tc}$  brain scan 에 左前頭部에 “hot lesion”을 발견할 수 있었다(Fig. 6-B).

사정상 수술은 하지 못하고 있어 結果는 아직 不明하다.

### 症例 6 : 안○혜, 女子, 6세.

妊娠 및 分娩이 모두 正常이었고 甚 異常 없이 發育, 成長하여 오다가 4세에 一過性인 左上肢의 痉挛을 經験하였다. 그후 심히 울고 난 後에 右半身의 筋力이 輕하게 一時의으로 弱하여지는 일이 여러 차례 있었다.

入院前 2週에 頭部外傷이나 경련발작없이 갑자기 심한 頭痛과 함께 右側의 半身痙攣가 發生하였다. 意識障害는 없었으나 곧 이어 嘸下障害와 言語障害가 나타났다. 入院後 곧 脊髓液検査를 實施하였으나 正常所見을 보여 주었고 左側의 頸動脈撮影上으로 巨大한 動靜脈畸形이兩大腦半球의 深部, 正中線 兩側으로 位置하여 있음을 觀察할 수 있었다. 左側大腦半球內에서는 中途에서 血管의 行走이 轉換되는 것도 同시에 觀察되었다 (Fig. 7-A,B).



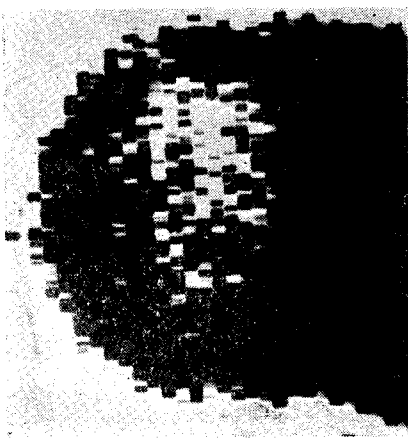
C. Lateral view

B. Posterior view  
Fig. 1. Normal  $^{99m}\text{Tc}$  brain scan.



C. Scintigram, right lateral view

B. Scintigram, frontal view  
Fig. 2. Case 1. Chronic subdural hematoma



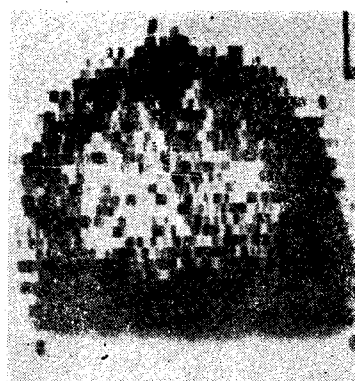
A. Carotid angiogram,  
Fig. 2. Case 1. Chronic subdural hematoma



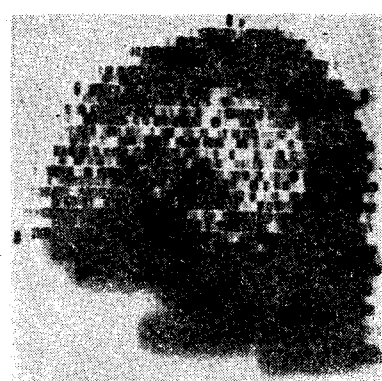
A. Anterior view



A. Carotid angiogram.

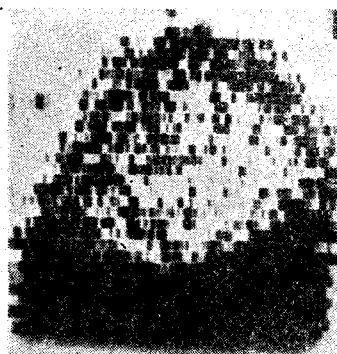


B. Scintigram, frontal view.

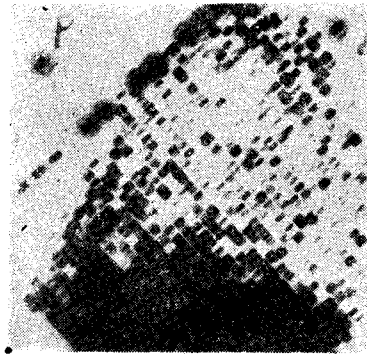


C. Scintigram, right lateral view

Fig. 3. Case 2. Subdural hematoma.

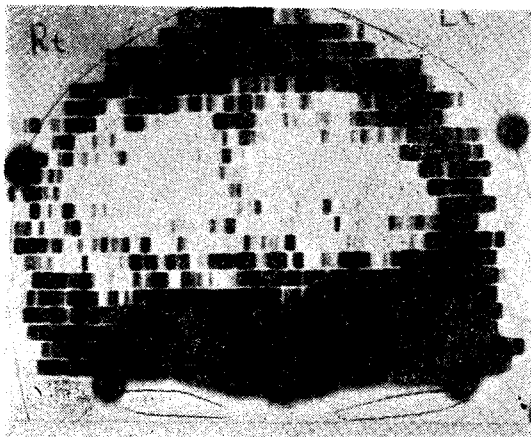


A. Scintigram, frontal view.

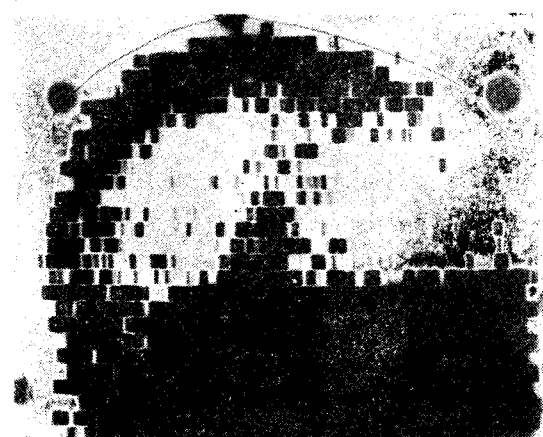


B. Scintigram, right lateral view.

Fig. 4. Case 3. Epidural hematoma.



A. Scintigram, frontal view.

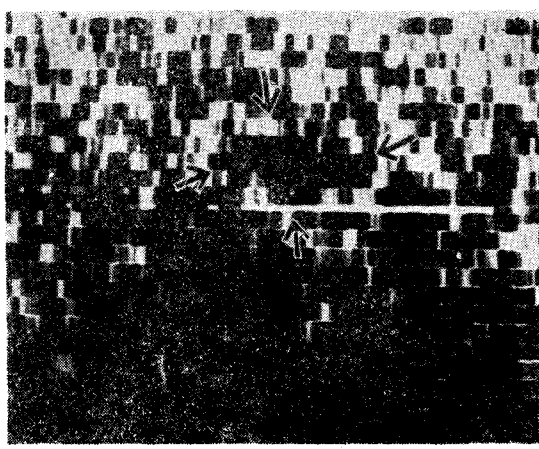


B. Scintigram, left lateral view.

Fig. 5. Case 4. Brain abscess, otogenic.



A. Carotid angiogram.

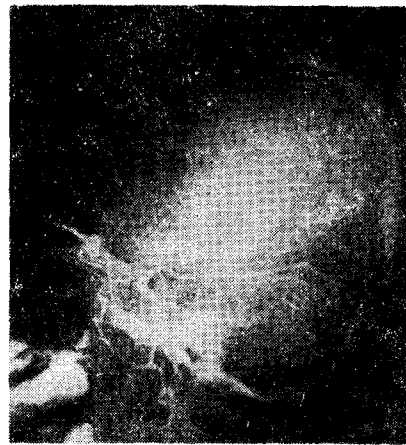


B. Scintigram, left lateral view.

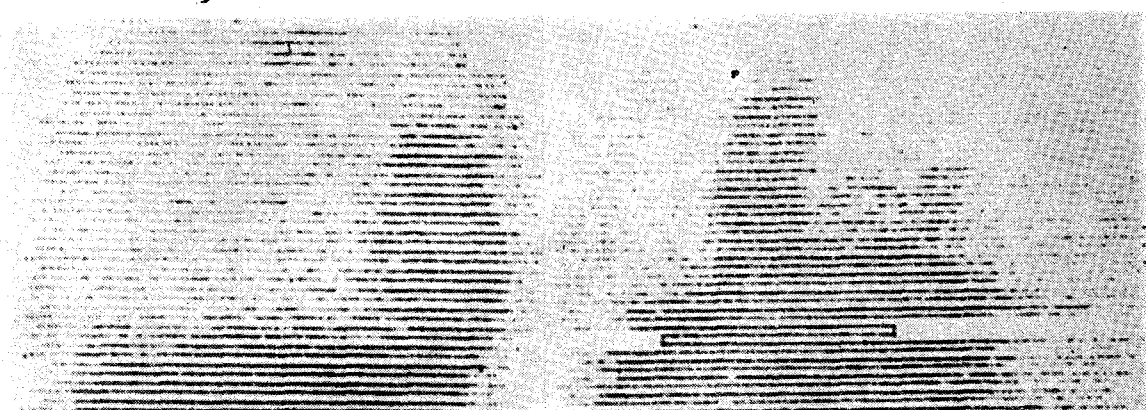
Fig. 6. Case 5. Brain abscess.



A. Carotid angiogram, P-A view.



B. Carotid angiogram, left lateral view.



C. Scintigram, frontal view.

D. Scintigram, left lateral view.

Fig. 7. Case 6. A-V malformation.

患者는 별處置 없이도 症狀이 好轉되어 言語障害 및 嘔下障害는 消失되었고 右半身痙攣도 輕快되었다.

退院前에 實施한  $^{99m}\text{Tc}$  brain scan에서 動靜脈輪型에 該當하는 部位에 放射能의 集積과 左側大腦半球內에 더욱 친한 "hot area"를 觀察하였다(Fig. 7-C,D).

## 考 按

最近 神經外科學의 눈부신 發展으로 病巢의 正確한 部位決定이 要請되는 頭部外傷, 腦血管疾患, 頭蓋內腫瘍 및 膿瘍等 空間占有病巢의 診斷法으로는 神經學의 理學的檢查外에도 腦血管撮影術 및 氣脳法 等 X-線學的方法과 腦波描記法을 들 수 있으나 前者에 있어서는 病巢自體가 結像되는 일은 적고 病巢로 因하여 腦室系 및 腦血管系에 起起된 變化를 觀察하므로서 病巢의 部位를 決定하는 間接法이라고 볼 수 있으며 檢查에 隨伴하는 患者的 苦痛과 危險性이 전혀 없는 것이 아니다. 腦波描記法도 病巢의 概略的인 位置를 指示하여 출 뿐으로 實際 開頭術 時에는 크게 도움이 되지 않는다.

1948年 Moore<sup>1)</sup>가 腦腫瘍例에 blood-brain-barrier를 通過하여 病巢에 選擇의으로 集積되는 diiodofluorescein 을  $^{131}\text{I}$ 로 標識하여 靜注後 Geiger-Müller 管을 使用한 體外 計測法에 依하여 腦腫瘍의 部位決定을 하였다고 報告한 以後, 같은 著者<sup>2)</sup>가  $^{42}\text{K}$ 와  $^{131}\text{I}$ -Serum Albumin (RISA)을 使用하여, 같은 方法으로 計測하였다.

1953年 Brownell 및 Sweet<sup>3)</sup>에 依하여 scintillation scanning 이 腦腫瘍 部位 診斷에 처음으로 應用되었는 바 이는 同時記錄裝置(coincidence scanning assembly)에 依하여  $^{74}\text{As}$ ,  $^{64}\text{Cu}$ 等 陽電子 放出 同位元素에서 나오는 消滅電子量, 對向한 2個의 scintillation detector로 計測하는 方法이었다. 그後 scanner의 改良,  $\gamma$ 線 spectrometer, collimator의 改良, 大型 crystal의 使用, 寫真記錄裝置의 開發등에 依하여 腦 scan은 顯著하게 發展되어 왔다. 同時に 放射性 醫藥品이 많이 開發되어 現在에는 여러가지 放射性 醫藥品이 腦 scan에 使用되고 있다. Moore 以來 使用되어 오는 RISA 代身 1960年 Blau and Bender<sup>4)</sup>가  $^{203}\text{Hg}$ -chlormerodrin (Neohydrin<sup>®</sup>)을 尊入한 後 腦 scan에는 主로  $^{203}\text{Hg}$ -chlormerodrin이 使用되어 오다가 Yamamoto 等<sup>5)</sup>이 患者が 받는 放射線量을 減少 시킬 目的으로 半減期가 짧고  $\gamma$ -ray energy가 高한  $^{197}\text{Hg}$ 로 標識한 chlormerodrin 으로 代替하였다. 1965年 Harper 等<sup>6)</sup>이  $^{99m}\text{Tc}$ 을 開發하여 이 物質은 萬能의 scanning 用 放射性 醫藥品으로 널리 普及되었고 最近 腦 scan에는  $^{99m}\text{Tc}$ 이나  $^{113m}\text{In}$ -DTPA가 主로 使用된다.

腦腫瘍의 部位를 診斷하기 為한 腦 scan 用 放射性 醫藥

品이 갖추어야 할 理想的 條件은

1.  $\gamma$ 線 放出核種과 化學의으로 安定한 結合을 이룰 수 있는 物質.  $\gamma$ 線의 energy는 0.1~0.5 Mev가 좋고  $\beta$ 線은 나오지 않는 것이 좋다.

2. 腫瘍對 腦組織의 濃度比가 높을 것. 腫瘍內濃度의 絶對值가 높을 것.

3. 腫瘍對 血液의 濃度比가 높을 것. 全 腦濱積의 約 7%는 腦內血液이므로 血中 放射能이 높으면 back ground가 增加한다.

4. 腫瘍對 筋肉濃度比가 높을 것. 側頭筋 및 後頭筋下의 腦底부가 잘 보인다.

5. 腫瘍內濃度가 scan에 要하는 時間동안 維持하되 物理學의 및 生物學의 半減期가 比較的 짧을 것.

6. 放射性物質의 體內分布에 있어 病巢以外에는 集中되는 곳이 없는 것이 좋다.

以上의 條件을 充足시키는 理想的 放射性物質은 아직 없고 現在까지 많이 使用된 藥品을 試見하면 다음과 같다.

1.  $^{203}\text{Hg}$ -chlormerodrin (Neohydrin): 半減期 47日, 0.28 Mev의  $\gamma$ 線을 放出하며 普通 體重 kg當  $10\mu\text{Ci}$ 를 靜注한다. 全身이 받는 線量이 290 m rad이며 腎臟을 通過하여 排泄되므로 腎照射線量은 대단히 많아 30~40 rad까지 達한다.

2.  $^{197}\text{Hg}$ -chlormerodrin:  $^{197}\text{Hg}$ 은 半減期가 짧고(27日)  $\gamma$ 線 energy가 弱하여(0.077 Mev)  $\beta$ 線이 放出되지 않으므로 腎照射線量을 約 1 rad로 減少시켜 준다.

3. RISA:  $^{131}\text{I}$ 로 標識한 血清 알부민인데 300~400  $\mu\text{Ci}$ 를 使用한다. 血中濃度가 높아 像의 分離가 좋지 않고 全身의 照射線量이 무려 700 mrad에 達하여 妨害에는 別로 使用되지 않는다.

4.  $^{99m}\text{Tc}$ -pertechnatate:  $^{99m}\text{Tc}$ 은 半減期가 6時間이며 0.14 Mev의  $\gamma$ 線만을 放出하고  $\beta$ 線이 나오지 않는 核種이며 使用直前에 molybdenum-technetium generator에서 milking하여 使用하게 된다. 腦 scan에는 普通 10 m Ci를 經口 或은 靜注 投與하는데 前者の 境遇은 2時間後, 後者の 境遇은 15~30分後 scan을 始作한다. 全身 照射線量이 80 m rad, 性腺線量은 100 m rad이므로 대단히 작을 뿐 아니라 計數率의 增加倍率에 統計變動이 적고 scan에 所要되는 時間이 短縮되는 長點이 있다. 그러나 筋肉, 唾液腺, 口腔粘膜等에도 多量 集積되므로 後頭蓋窩에 病巢가 있는 例에서는 組織放射能에 由여 診斷이 困難하다는 短點이 있다.

腦scan은 腫瘍, 膿瘍, 硬膜下血腫, 腦軟化症等의 頭蓋內病巢의 部位診斷에 應用되는바 病巢自體를 陽性像으로 直接結像하여 描出하므로써 位置와 크기를 正確하

게 알 수 있을 뿐 아니라 腦血管撮影, 氣腦撮影에 比하여 患者가 받는 負擔이 적고 重患者에게도 쉽게 實施할 수 있으며 反復施行도 容易하다는 것이 長點이다. 그러나 腦 스캔法에 있어서는 그 裝置, 放射性醫藥品이 高價이고 直徑 2 cm 以下의 痘巢과 後頭蓋窩의 痘巢은 診斷이 困難하고 長時間 頭部를 固定시켜야 한다는 短點도 있다.

腦 scan 法에 依한 腦腫瘍診斷成績에 關하여는 論告가 있다.  $^{203}\text{Hg}$ -chlormerodrin 을 使用하는 境遇 診斷率은 80~90%로서 많은 著者<sup>4,8,9,10)</sup>의 論告가 거의 一致되고 있다.  $^{197}\text{Hg}$ -chlormerodrin 나  $^{99\text{m}}\text{Tc}$ 을 使用한 境遇도 큰 差異 없는 結果를 論告하고 있다.<sup>5,11,12)</sup>

腦 scan 法과 다른 診斷法과의 成績을 比較하여 보면 腦血管撮影, 氣腦撮影, 脳波検査, 頭部單純撮影의 어느 한가지 方法보다도 優秀한 成績을 보였다고 한다.<sup>8~10)</sup> 한편 腦 scan 과 脳波 및 頭部單純撮影의 3 가지 方法을 使用하면 95%의 診斷率을 보였다고 한다.<sup>10)</sup>

腦 scan에 依한 診斷率은 腫瘍의 組織學的 性質과도 關係가 있다. Meningioma, glioblastoma, 惡性 astrocytoma, 轉移性 腫瘍은 그 診斷率이 높고, 良性 astrocytoma, acoustic neurinoma의 診斷率은 낮다.<sup>13,14,15)</sup>

한편 手術의으로 侵襲하여 脳 實質의 損傷이 있는 部位도 陽性結果가 나오므로 注意를 要한다.<sup>16,17)</sup> Takahashi<sup>18)</sup> 等은 scan 像上의 形態와 크기 및 周圍組織에 比한 放射能의濃度가 病理組織學의型과 有關하다고 하였다. 即 meningioma는 境界가 分明한 圓形의 dense area로 나타나며 astrocytoma는 小圓形의 density가 낮은 部位로 나타나며 glioblastoma는 크고 不整形의 dense area로 나타나며 轉移性 腫瘍은 astrocytoma 와 비슷한 모습으로 나타났다.

腦 scan 法은 腫瘍以外에도 硬膜下血腫, 腦膜瘻, 脳出血, 腦血栓症, 蜘蛛膜下出血, 動靜脈異常等의 非 腫瘍性病巢도 陽性像으로 描出한다.<sup>19)</sup> 脳血管障害時의 scan 像은一般的으로 density가 낮고 境界가 不鮮明하고 時間 經過에 따라서 消失되는 特徵이 있다.<sup>20)</sup> 脳出血 및 腦血栓症發病後 6週 以內에 腦 scan 陽性率이 49%라는 論告가 있다.<sup>21)</sup> 硬膜下出血은 症例에서 본 바와 같이 廣範囲한 表在性 hot area로 나타나는 特徵이 있으므로 腦 scan 法은 頭部外傷患者의 screening test로 도 優秀하다고 하였다.<sup>22)</sup>

우리 나라에서 腫瘍의 診斷에 brain scan 을 利用한 文,<sup>23)</sup> 李<sup>24)</sup> 等의 論告가 있다.

### 結論 및 要略

Scintiscanner의 改良 및 새로운 放射性醫藥品의 開發에 依하여 腦 scan 法은 最近 몇年 사이 顯著하게 進步,

普及되었다. 腦 scan 은 腦腫瘍, 頭部外傷, 脳血管障害等에 있어 痘巢部位 診斷에 有用하다는 事實은 自驗例로서 밝혔고 腦 scan에 關하여 文獻的 考察을 하였다.

### REFERENCES

- 1) Moore, G.E.: Use of radioactive diiodofluorescein in the diagnosis and localization of brain tumors. *Science* 107:569, 1948
- 2) Moore, G.E., et al.: Clinical and experimental studies of intracranial tumors with fluorescein dyes. *Am. J. Radiol.* 66:1, 1951.
- 3) Brownell, G.E. and Sweet, W.H.: *Nucleonics* 11: 40, 1953.
- 4) Blau, M. and Bender, M.A.: Clinical Evaluation of  $^{203}\text{Hg}$  Neohydrin and  $^{131}\text{I}$  Albumin in Brain Tumor Localization. *J. Nuc. Med.* 1:106, 1960.
- 5) Rhoton, A.L., et al.: Brain scanning with chlor merodrin-Hg<sup>197</sup> and chlormerodrin-Hg<sup>203</sup>. *Arch. Neurol. (Chicago)* 10:369, 1964.
- 6) Harper, P.V., et al.: Technetium 99m as a scanning agent. *Radiol.* 85:101, 1965
- 7) Stern, H.S., Goodwin, D.A., Scheffel, U., Wagner, H.N.Jr. and Kramer, H.H.: *Nucleonics* 25: 62, 1967
- 8) Afifi, A.K., Morrison, R.R., Sahs, A.L., Evans, T.C.: A comparison of chlormerodrin-Hg<sup>203</sup> scintiencephaloscanning with neuroradiology and electroencephalography for localization of intracranial lesion. *Neurol. (Minneapolis)* 15:56, 1965.
- 9) Mc Afee, J.G., Taxdal, D.R.: Comparison of radioisotope scanning with cerebral angiography and air studies in brain tumor localization. *Radiol.* 77:207, 1961.
- 10) Wang, Y., Shea, F.J., Rosen, J.A.: Comparison of the accuracy of brain scanning and other procedures used for brain tumor detection. *Neurol. (Minneapolis)* 15:1117, 1965.
- 11) Quinn, J.L. III., Ceric, I., Hauser, W.N.: Analysis of 96 abnormal brain scans using technetium 99m (pertechnetate form): *J.A.M.A.* 194:157, 1965.
- 12) Quinn, J.L. III.:  $\text{Tc}^{99\text{m}}$  pertechnetate for brain scanning. *Radiol.* 84:354, 1965.
- 13) Schmukler, M., et al.: The reliability of scintillation scanning for detection of intracranial lesions. *J. Nuc. Med.* 7:252, 1966.

- 14) Loken, M.K., et al.: *Mercury-197 and mercury 203 chlormerodrin for evaluation of brain lesions using a rectilinear scanner and scintillation camera.* *J. Nuc. Med.* 7:209, 1966.
- 15) Budabin, M., et al.: *The anatomical correlation of the abnormal RIHSA brain scan.* *J. Nuc. Med.* 7:128, 1966.
- 16) Spencer, R.: *Scintiscanning in space-occupying lesions of skull.* *Brit. J. Radiol.* 38:1, 1965.
- 17) Heinz, E.R., et al.: *Post-Angiography isotope Brain Scanning.* *Am. J. Roentgenol.* 98(3):672, 1966.
- 18) Takahashi, M., et al.: *Correlation of brain scan image and area counting after scanning with tumor pathology.* *J. Nuc. Med.* 7:32, 1966.
- 19) Overton, M.C. 3d., Haynie, T.P., Snodgrass, S.R.: *Brain scans in nonneoplastic intracranial lesions: scanning with chlormerodrin Hg 203 and chlor-*
- merodrin Hg 197.* *J. A. M. A.* 191:431, 1965.
- 20) Rosen, J.A., and Yen, W.: *Radioisotopic brain scanning in encephalomalacia (Abstract only).* *Neurol.* 14:271, 1964.
- 21) Glasgow, J.L., Currier, R.D., Goodrich, J.K., et al.: *Brain scans at varied intervals following C.V.A.* *J. Nuc. Med.* 6:902, 1965.
- 22) Mc Afee, J.G., Fueger, C.F., Stern, H.S., Wagner, H.N., Jr., and Migita, T.: *Tc<sup>99m</sup> pertechnetate for brain scanning. (abstract)* *J. Nuc. Med.* 5:811, 1964.
- 23) 文太俊, 高昌舜, 李憲梓: <sup>203</sup>Hg Neohydrin 을 이용한 腦腫瘍의 位置判定에 對하여. 研究論文集(原子力院)第5輯: 147, 1965.
- 24) 李圭煥, 高昌舜, 文太俊, 李憲梓: <sup>203</sup>Hg Neohydrin 을 利用한 腦腫瘍의 位置判定 및 腦疾患의 診斷. 研究論文集(原子力院) 第4輯: 147, 1964.